



УДК 517.95, 519.633.6.6

В. М. Филатова

## ЧИСЛЕННОЕ ВОССТАНОВЛЕНИЕ КОЭФФИЦИЕНТА ПОГЛОЩЕНИЯ МЕТОДОМ ГРАНИЧНОГО УПРАВЛЕНИЯ

Предложен алгоритм численного решения обратной динамической задачи о восстановлении поглощения методом граничного управления. Поглощение определяется независимо от скорости звука, которая может быть произвольной гладкой положительной функцией. Приводятся результаты численного моделирования.

A numerical algorithm for solving inverse dynamical problem recovering an absorption by the boundary control method is developed. The absorption coefficient is determined independently of a speed of sound, which can be an arbitrary smooth positive function. The results of numerical experiments are represented.

**Ключевые слова:** многомерные обратные динамические задачи, метод граничного управления, численное решение обратных динамических задач.

**Key words:** multidimensional inverse dynamical problem, boundary control method, numerical solving inverse dynamical problems.

### Прямая задача

Пусть  $D$  – ограниченная область в  $\mathbb{R}^2$  с внешней границей  $\Gamma$ . Рассмотрим начально-краевую (прямую) задачу для волнового уравнения

$$\rho u_{tt} - \Delta u + \sigma u_t = 0, \quad (1)$$

$$u|_{t=0} = u_t|_{t=0} = 0, \quad (2)$$

$$u_\nu|_{\Gamma \times [0, T]} = f \in L^2(\Gamma \times [0, T]), \quad (3)$$

где  $c(x) = 1/\sqrt{\rho(x)}$  – скорость звука;  $\sigma(x)$  – коэффициент поглощения;  $u_\nu$  – производная по нормали. Решение прямой задачи обозначим  $u^f$  и назовем волной, возбужденной управлением  $f$ . Волну  $u^f(\cdot, T)$  в момент времени  $t = T$  назовем *финальным состоянием*. Системе (1)–(3) сопоставим оператор реакции  $R^T : L^2(\Gamma \times [0, T]) \rightarrow L^2(\Gamma \times [0, T])$ , определяемый  $R^T f = u^f|_{\Gamma \times [0, T]}$ . Это ограниченный в  $L^2(\Gamma \times [0, T])$  оператор [1].

### Обратная задача

Рассмотрим обратную задачу восстановления  $\sigma(x)$  во всей области  $D$  по данным обратной задачи: оператору  $R^{2T}$ , заданному при фиксированном  $T$ ,  $T/2 > T^* = \sup_{x \in D} \text{dist}(x, \Gamma)$ , где расстояние рассматривается в смысле римановой метрики  $|dx|/c(x)$ ,  $c(x)$  остается неизвестной.



Решение обратной динамической задачи основывается на методе граничного управления (ВС-метод) [2]. Используется одна из версий ВС-метода [3]. Настоящая статья является продолжением работ [4; 5].

### Билинейные формы

Приведем известные результаты, используемые при решении задачи. Определим билинейную форму  $Q(f, g)$ :

$$Q(f, g) = \int_D (\nabla u^f(x, T), \nabla u^g(x, T)) dx - \int_D \rho(x) u_t^f(x, T) u_t^g(x, T) dx. \quad (4)$$

Оказывается, (4) определяются через данные обратной задачи:

$$Q(f, g) = \int_\Gamma d\Gamma \int_0^T [-u_t^g(\cdot, 2T-t) f(\cdot, t) + u_t^f(\cdot, t) g(\cdot, 2T-t)] dt. \quad (5)$$

Вывод (5) приведен в [6].

Введем билинейную форму  $\Sigma(f, g)$ :

$$\Sigma(f, g) = \int_D \sigma(x) u^f(x, T) u^g(x, T) dx. \quad (6)$$

Пусть  $v$  — произвольное решение волнового уравнения

$$\rho v_{tt} - \Delta v - \sigma v_t = 0. \quad (7)$$

Умножим (1) на  $v$ , а (7) на  $u^f$  и вычтем, проинтегрируем по  $D \times [0, T]$ :

$$\int_D \rho(x) [v u_t^f - u^f v_t](x, T) dx + \int_D \sigma(x) v u^f(x, T) dx = \int_0^T \int_\Gamma [v f - u^f v_\nu](x, t) d\Gamma dt.$$

Возьмем  $v(x, t) = u^g(x, 2T-t)$ , тогда

$$\begin{aligned} \Sigma(f, g) &= \int_D \sigma u^f(\cdot, T) u^g(\cdot, T) dx = \\ &= - \int_D \rho \left[ u_t^f(\cdot, T) u^g(\cdot, T) + u_t^g(\cdot, T) u^f(\cdot, T) \right] dx + \\ &+ \int_0^T dt \int_\Gamma \left[ u^g(\cdot, 2T-t) f(\cdot, t) - u^f(\cdot, t) g(\cdot, 2T-t) \right] dx. \end{aligned} \quad (8)$$

### Задача граничного управления

Рассмотрим задачу граничного управления: по заданным функциям  $\varphi \in H^1(D)$ ,  $\psi \in L^2(D)$  требуется найти управление  $f$  такое, что

$$u^f(\cdot, T) = \varphi, \quad (9)$$

$$u_t^f(\cdot, T) = \psi. \quad (10)$$

Известно, что при достаточно больших  $T$ :  $T/2 > T^*$ , задача (9)–(10) плотно разрешима в пространстве управлений  $H^1 \times L^2$  [5]. При решении задачи граничного управления воспользуемся формой (4), которая выражается через данные обратной задачи по формуле (5).



Пусть  $\varphi$  – произвольная гладкая гармоническая функция в  $D \cup \Gamma$ , а  $\psi = 0$ . Введем функционал  $\Phi(g) : \Phi(g) = \int_D (\nabla \varphi(x, T), \nabla u^g(x, T)) dx$ . Заметим, что  $\Phi(g)$  явно выражается через данные обратной задачи:

$$\Phi(g) = \int_{\Gamma} u^g(x, T) \varphi_{\nu} d\Gamma.$$

Равенства  $u^f(\cdot, T) = \varphi$ ,  $u_t^f(\cdot, T) = 0$  выполняются тогда и только тогда, когда управление  $f$  удовлетворяет уравнению и условиям [5]:

$$Q(f, g) = \Phi(g), \quad \forall g \in L^2(\Gamma \times [0, T]). \quad (11)$$

$$u^f(x, T)|_{\Gamma} = \varphi, \quad u_t^f(x, T)|_{\Gamma} = 0. \quad (12)$$

### Схема решения обратной задачи

Коэффициент поглощения можно восстановить по такой схеме.

1. Для всевозможных гладких вплоть до границы гармонических функций  $\varphi$  и  $\psi = 0$  решается задача граничного управления (9)–(10), используя уравнение (11) и условия (12). Тем самым определяются управления  $f_{\varphi}$  такие, что  $u^{f_{\varphi}}(x, T) \approx \varphi(x)$ ,  $u_t^{f_{\varphi}}(x, T) \approx 0$ .

2. Подставляя в (8)  $f_{\varphi_1}$  для  $u^f$  и  $f_{\varphi_2}$  для  $u^g$ , получаем

$$\int_D \sigma(x) \varphi_1 \varphi_2 dx \approx \int_0^T \int_{\Gamma} [u^{f_{\varphi_2}}(\cdot, 2T-t) f_{\varphi_1}(\cdot, t) - u^{f_{\varphi_1}}(\cdot, t) f_{\varphi_2}(\cdot, 2T-t)] d\Gamma dt. \quad (13)$$

Поскольку линейная оболочка, порожденная всевозможными произведениями  $\varphi_1, \varphi_2$ , плотна в  $L^2(D)$ , можно использовать (13) для определения  $\sigma$ . Важная особенность процедуры решения обратной задачи в том, что оба шага алгоритма – решение линейных задач.

### Численное решение прямой задачи

Прямая задача решалась методом конечных элементов. В области  $D$  строилась триангуляционная сетка Делоне. Использовалась кусочно-постоянная модель скорости звука и поглощения. Решение прямой задачи раскладывалось по кусочно-линейным базисным функциям МКЭ  $\phi_i(x_j) = \delta_{ij}$ ,  $i, j = 1, \dots, N$ :

$$u_N(x, t) \approx \sum_{n=1}^N U_n(t) \phi_n(x), \quad (14)$$

где  $N$  – число узлов. Метод Галеркина сводит исходную прямую задачу к задаче Коши для системы обыкновенных дифференциальных уравнений с постоянными коэффициентами

$$MU'' + KU + M^{\sigma}U' = G, \quad G_i(t) = \int_{\Gamma} f(x, t) \phi_i dx, \quad i = 1, \dots, N \quad (15)$$

с нулевыми данными Коши

$$U(0) = U'(0) = 0 \quad (16)$$



Решение задачи (15)–(16), отвечающее управлению  $f$ , будем обозначать  $U^f(t)$ , а вектор-функцию в правой части –  $G^f(t)$ . Постоянные матрицы  $M$ ,  $K$  (матрица масс и матрица жесткости) и  $M^\sigma$  (матрица масс) вычисляются по формулам

$$M_{ij} = \int_D \rho \phi_i \phi_j dx, M_{ij}^\sigma = \int_D \sigma \phi_i \phi_j dx, K_{ij} = \int_D (\nabla \phi_i, \nabla \phi_j) dx. \quad (17)$$

Система ОДУ (15) аппроксимировалась по явной схеме:

$$M \frac{U^j - 2U^{j-1} + U^{j-2}}{\Delta t^2} + KU^{j-1} + M^\sigma \frac{U^j - U^{j-2}}{2\Delta t} = G^{j-1},$$

156

где  $\Delta t$  – шаг по времени. Имеем СЛАУ для  $U^j$  с  $A = M + \Delta t/2 M^\sigma$  и вектором правой части  $B = \Delta t^2 G^{j-1} + U^{j-1} (2M - \Delta t^2 K) + U^{j-2} (-M + (\Delta t/2) M^\sigma)$ . Начальное приближение  $U^0 = 0$ ,  $U^1 = \Delta t^2 G^0 \approx 0$ . Решение прямой задачи в граничных узлах обозначим  $(Rf(t))_i = U_i^f(t)$ ,  $x_i \in \Gamma$ .

### Задача граничного управления в дискретном виде

Билинейная форма (5) при представлении решения в виде (14) запишется следующим образом:

$$Q(f, g) \approx (KU^f(T), U^g(T)) - (MU_t^f(T), U_t^g(T)) = \int_0^T [-(Rg)_i(2T-t)G^f(t) + (Rf)_i(t)G^g(2T-t)] dt. \quad (18)$$

Задача граничного управления примет вид

$$U^{f_\phi}(T) = \phi, \quad (19)$$

$$U_t^{f_\phi}(T) = 0. \quad (20)$$

Управление  $f_\phi$  будем искать в виде

$$f_\phi = \sum_{k=1}^L c_k g_k, \quad (21)$$

где  $g_1, g_2, \dots, g_L \in L^2(\Gamma \times [0, T])$  – линейно-независимая система управлений;  $L$  – количество управлений. Тогда задача граничного управления (19)–(20) сводится к СЛАУ относительно  $c_k$ :

$$Q(f_\phi, g_l) = \sum_{k=1}^L c_k Q(g_k, g_l) = ((Rg_l)(T), G_{\phi_n}), \quad (22)$$

$$U^{f_\phi}(x, T)|_{x \in \Gamma} = \phi(x)|_{x \in \Gamma}, U_t^{f_\phi}(x, T)|_{x \in \Gamma} = 0|_{x \in \Gamma}. \quad (23)$$

### Численное восстановление $\sigma$

Форма  $\Sigma(f, g)$  (8) в дискретной постановке принимает вид



$$\Sigma(f, g) \approx U^f(T)M_\sigma U^g(T) = -U^{f'}(T)MU^g(T) - U^f(T)MU^{g'}(T) + \int_0^T [(Rg)(2T-t)G_f(t) - (Rf)(t)G_g(2T-t)]dt. \quad (24)$$

Опишем схему восстановления поглощения в дискретном виде.

1. Рассчитываем сеточные «гармонические функции»  $\varphi_j, j = 1, \dots, J$  ( $J$  – количество граничных узлов) из дискретного аналога задачи Неймана для уравнения Лапласа  $K\varphi_{(j)} = G_{(j)}$ , где вектора  $G_{(j)}$  – произвольные линейно-независимые граничные вектора.

2. Определяем некоторую линейно-независимую систему управлений  $g_1, g_2, \dots, g_L \in L^2(\Gamma \times [0, T])$ .

3. Для каждой  $\varphi_{(j)}$  решаем задачу граничного управления (19)–(20)

$$U^{f_{\varphi_{(j)}}}(T) = \varphi_{(j)}, \quad U_t^{f_{\varphi_{(j)}}}(T) = 0, \quad j = 1, \dots, J.$$

Искомое управление  $f_{\varphi_{(j)}}$  представляем в виде (21). Задача граничного управления сводится к нахождению коэффициентов разложения  $c_k$  из системы линейных уравнений (22) и условий (23).

4. Запишем билинейную форму  $\Sigma(f, g)$  (6) в дискретном виде

$$\Sigma(f, g) = \sum_i \sum_j U_i^f(T)U_j^g(T) \int_D \sigma(x)\psi_i(x)\psi_j(x)dx = (U^f, M^\sigma U^g).$$

Подставляя сюда  $f = f_{\varphi_{(p)}}, g = f_{\varphi_{(q)}}$ , получим систему уравнений

$$\sum_{i,j=1}^N \sum_{k=1}^{Tr} \sigma_k \varphi_{(p)}^i \varphi_{(q)}^j \int_{\Delta_k} \psi_i(x)\psi_j(x)dx = \Sigma(f_{\varphi_{(p)}}, f_{\varphi_{(q)}}), \quad p, q = 1, \dots, J, \quad (25)$$

где правая часть вычисляется исходя из (24):

$$\Sigma(f_{\varphi_{(p)}}, f_{\varphi_{(q)}}) = \int_0^T [U^{f_{\varphi_{(q)}}}(2T-t)G_{f_{\varphi_{(p)}}}(t) - U^{f_{\varphi_{(p)}}}(t)G_{f_{\varphi_{(q)}}}(2T-t)]dt.$$

Таким образом, получили систему линейных уравнений (25) (размерности  $Tr \times J(J+1)/2$ , где  $Tr$  – количество треугольников) относительно  $\sigma_k, k = 1, Tr$ . Система линейных уравнений (22) решалась псевдообращением, а решение в (25) отыскивалось с помощью минимизации функционала с учетом априорных ограничений на  $\sigma_k$ .

### Численные эксперименты

В среде MATLAB был разработан комплекс функций, позволяющий проводить численные эксперименты.

Область  $D$  – круг радиусом  $r=1$ . В численных экспериментах  $T^* \leq 1$  ( $T^*$  – время заполнения), далее полагаем  $T=2$ .

Использовалась следующая триангуляционная сетка: количество узлов сетки  $N=8385$ , количество граничных узлов  $J=256$ , количество треугольников  $Tr=16512$ . В качестве  $g_l$  взяты функции:

$$g_l = g^{sp}(x, t) = \delta_s(x)h_p(t), \quad s = 1, \dots, S, \quad p = 1, \dots, P, \quad x \in \Gamma, \quad (27)$$

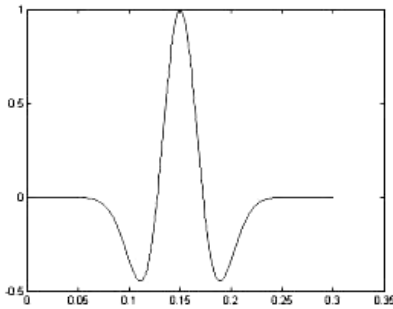


Рис. 1. Функция Рикера

где  $h_p(t)$  – функция Рикера (частота  $f = 10$  Гц), смещенная на шаг  $p\Delta t$  (рис. 1),  $\delta_s(x)$  – «сеточная» дельта-функция для граничного узла с номером  $s$ , где

$$\delta_s(x_j) = \begin{cases} 1, & s = j, \\ 0, & s \neq j; \end{cases} \quad S = 256; P = 100.$$

Модель скорости звука  $c(x)$  имеет вид, показанный на рисунке 2. Модель поглощения и результат восстановления даны на рисунке 3.

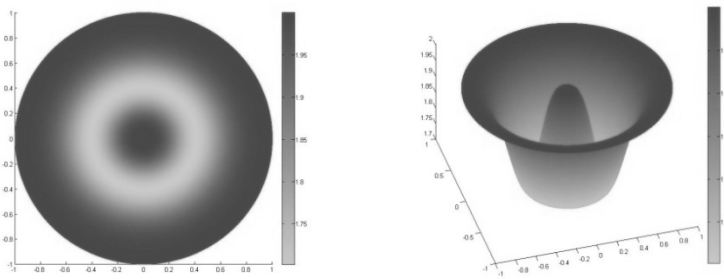
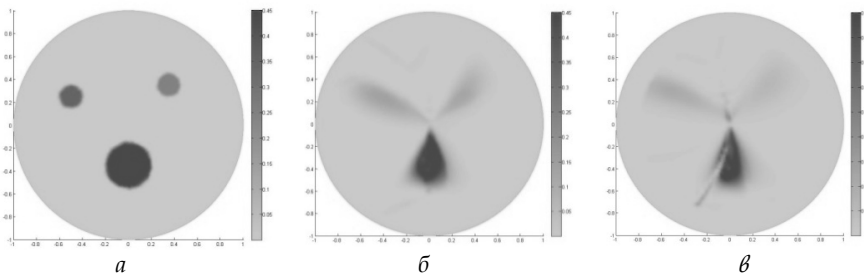
Рис. 2. Модель скорости звука ( $c(x) > 0$ )

Рис. 3. Модель поглощения и результат восстановления:  
а – модель поглощения; б – реконструкция поглощения;  
в – реконструкция поглощения с информацией на границе области

*Автор приносит глубокую благодарность научному руководителю Л. Н. Пестову за помощь при проведении научных исследований.*

*Работа выполнена при финансовой поддержке РФФИ по проектам № 12-01-00260а.*

### Список литературы

1. Lions J.-L. Contrôle Optimal de Systèmes Gouvernés par des Équations aux Dérivées partielles. Paris, 1968.

2. Belishev M. I. Boundary control in reconstruction of manifolds and metrics (the BC-method) // Inverse Problems. 1997. 13. R1 – R45.



3. *Pestov L. N.* On reconstruction of the speed of sound from a part of boundary // *Journal of inverse and ill-posed problems*. 1999. Vol. 7, N. 5. P. 481 – 486.
4. *Pestov L., Bolgova V., Kazarina O.* Numerical recovering a density by BC-method // *Inverse Problems and Imaging*. 2011. Vol. 4, N. 4. P. 703 – 712.
5. *Pestov L. N., Bolgova V. M., Danilin A. N.* Numerical recovering of a speed of sound by the BC-method in 3D // *Acoustical Imaging*. Springer. 2012. Vol. 31, N. 8, P. 508.
6. *Pestov L. N.* Inverse problem of determining absorption coefficient in the wave equation by BC method // *Journal of inverse and ill-posed problems*. 2012. Vol. 20, N. 1. P. 103 – 110.

### Об авторе

Виктория Михайловна Филатова – науч. сотр., Балтийский федеральный университет им. И. Канта.  
E-mail: ViFilatova @kantiana. ru

### Author

Viktoriia Filatova – researcher, I. Kant Baltic Federal University.  
E-mail: ViFilatova @kantiana.ru